

TUGAS AKHIR
KINERJA STRUKTUR DERMAGA BATU BARA
TERHADAP BEBAN GEMPA RIWAYAT WAKTU
STUDI KASUS :
PROYEK PLTU JAWA 9 & 10 CILEGON – BANTEN



Disusun oleh :

Joko Hermanto 41118120129

UNIVERSITAS
MERCU BUANA
Dosen Pembimbing :
Ir. Pariatmono Sukamdo, Msc, DIC, PhD

PROGRAM STUDI TEKNIK SIPIL
FAKULTAS TEKNIK
UNIVERSITAS MERCUBUANA
JAKARTA
2024

HALAMAN PENGESAHAN

Laporan Tugas Akhir ini diajukan oleh:

Nama : Joko Hermanto

NIM : 41118120129

Program Studi : Teknik Sipil

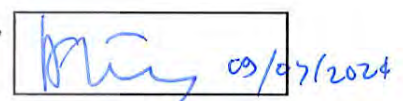
Judul Tugas Akhir : Kinerja Struktur Dermaga Batu Bara Terhadap Beban Gempa
Riwayat Waktu. Studi Kasus : Proyek PLTU Jawa 9&10 Cilegon – Banten.

Telah berhasil dipertahankan pada sidang di hadapan Dewan Penguji dan diterima sebagai bagian persyaratan yang diperlukan untuk memperoleh gelar Sarjana Strata 1 (S1) pada Program Studi Teknik Sipil Fakultas Teknik Universitas Mercu Buana.

Disahkan oleh:

Pembimbing : Ir. Pariyatmono Sukamdo, M. Sc., DIC., Ph.D.

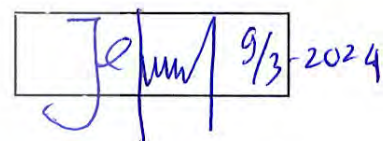
NIDN/NIDK/NIK : 199620243



09/03/2024

Ketua Penguji : Jef Franklyn Sinulingga, S.T., M.T.

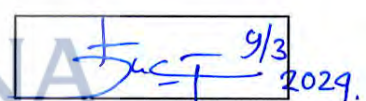
NIDN/NIDK/NIK : 0325038801



9/3-2024

Anggota Penguji : Suci Putri Elza, S.T., M.T.

NIDN/NIDK/NIK : 0330108902



9/3-2029

Jakarta, 2 Maret 2024

Mengetahui,

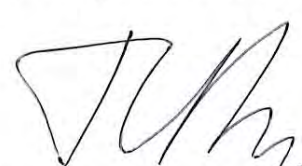
Dekan Fakultas Teknik



Dr. Zulfa Fitri Ikatrinasari, M.T.

NIDN: 0307037202

Ketua Program Studi Teknik Sipil



Ir. Sylvia Indriany, S.T., M.T.

NIDN: 0302087103

HALAMAN PERNYATAAN KARYA SENDIRI

Saya yang bertanda tangan di bawah ini:

Nama : Joko Hermanto
NIM : 41118120129
Program Studi : Teknik Sipil
Judul Tugas Akhir : KINERJA STRUKTUR DERMAGA BATU BARA TERHADAP BEBAN GEMPA RIWAYAT WAKTU. STUDI KASUS : PROYEK PLTU JAWA 9&10 CILEGON - BANTEN

Menyatakan bahwa Laporan Tugas Akhir ini adalah hasil karya saya sendiri dan bukan plagiat, serta semua sumber baik yang dikutip maupun dirujuk telah saya nyatakan dengan benar. Apabila ternyata ditemukan di dalam Laporan Tugas Akhir saya terdapat unsur plagiat, maka saya siap mendapatkan sanksi akademis yang berlaku di Universitas Mercu Buana.

Jakarta, 2 Maret 2024



UNIVERSITAS
MERCU BUANA

ABSTRAK

Indonesia merupakan daerah rawan gempa bumi karena dilalui oleh jalur pertemuan empat lempeng tektonik. Gempa bumi besar di Indonesia terjadi di Padang, Sumatera Barat pada tanggal 30 September 2009, berkekuatan 7,6 Skala Richter (SR). Indonesia merupakan negara kepulauan maka transportasi laut sebagai bagian dari sistem transportasi nasional, dermaga adalah prasarana penting untuk mempersatukan pulau-pulau di nusantara. Dermaga sebagai tempat bongkar muat batu bara. Dermaga batu bara merupakan suatu bagunan di pelabuhan yang dibuat untuk menambatkan atau merapatkan kapal membawa muatan batu bara. Unloading Jetty and Access Bridge adalah dermaga yang dibangun merupakan bagian dari unit PLTU JAWA 9&10 di Cilegon-Banten. Dermaga terdiri dari dua struktur utama yaitu struktur atas berupa balok dan plat lantai dan struktur bawah berupa tiang pancang. Dermaga diharapkan memiliki kinerja struktur yang baik terhadap gempa. Kinerja struktur dermaga terhadap beban gempa berdasarkan riwayat waktu berupa analisis struktur untuk mengetahui gaya-gaya yang bekerja pada struktur (gaya dalam dan tegangan serta deformasi) dengan menggunakan alat bantu analisis software SAP2000. Metode (displacement-based design) atau perpindahan elemen dapat mengevaluasi kinerja struktur dengan menghasilkan gambaran perilaku inelastis struktur secara nyata pada saat terjadi gempa. Pada kinerja struktur berupa kapasitas tiang pancang pipa baja menggunakan acuan parameter kode desain API RP2A WSD2000 tiang pancang yang di ditinjau pada frame 684 mengasilkan nilai rasio kapasitas (total ratio) tiang pancang akibat beban dinamis adalah sebesar $0,711 = 70,11\%$ dan memiliki nilai rasio kapasitas (ratio limit) sebesar $0,95 = 95\%$ maka tiang pancang masih dianggap aman. Kinerja struktur pada balok beton bertulang tulangan lentur dan geser akibat tegangan yang timbul menggunakan parameter kode desain ACI 381-14 dan untuk luas tulangan pada balok frame 447 yang diamati yaitu (A_v/S) adalah rasio antara luas penampang geser tulangan (A_v) dan jarak/panjang sambungan geser (S) bahwa luas penampang tulangan ($A_{spasang}$) yang terpasang lebih besar dari luas tulangan yang dibutuhkan (A_{sperlu}) maka balok mampu menahan gaya yang bekerja akibat beban dinamis (gempa riwayat waktu) ataupun beban kombinasi sehingga kinerja struktur cukup baik dan aman.

Kata kunci: *Kinerja Struktur, Struktur Dermaga, Dermaga Batu Bara, Gempa Riwayat Waktu.*

ABSTRACT

Indonesia is an area prone to earthquakes because it is traversed by the intersection of four tectonic plates. The major earthquake in Indonesia occurred in Padang, West Sumatra on September 30th, 2009, measuring 7.6 on the Richter Scale (SR). Indonesia is an archipelagic country, so sea transportation is part of the national transportation system, docks are important infrastructure to unite the islands of the archipelago. The dock is a place for loading and unloading coal. A coal pier is a building in a port that is made to moor or dock ships carrying coal cargo. The Unloading Jetty and Access Bridge is a jetty that was built as part of the PLTU JAWA 9&10 unit in Cilegon-Banten. The pier consists of two main structures, namely the upper structure in the form of beams and floor plates and the lower structure in the form of piles. The pier is expected to have good structural performance against earthquakes. The performance of the pier structure against earthquake loads is based on time history in the form of structural analysis to determine the forces acting on the structure (internal forces, stresses and deformations) using SAP2000 software analysis tools. The displacement-based design method can evaluate structural performance by producing a real picture of the structure's inelastic behavior during an earthquake. In terms of structural performance in the form of capacity of steel pipe piles, using the API RP2A WSD2000 pile design code parameter as a reference, reviewed in frame 684, the capacity ratio value (total ratio) of piles due to dynamic loads is $0.711 = 70.11\%$ and has a limit value. The capacity ratio (ratio limit) is $0.95 = 95\%$, so the pile is still considered safe. The structural performance of reinforced concrete beams with flexural and shear reinforcement due to the stresses that arise using the ACI 381-14 design code parameters and for the area of reinforcement in frame 447 beams observed, namely (Av/S) is the ratio between the shear cross-sectional area of the reinforcement (Av) and the distance / length of the shear connection (S) if the cross-sectional area of the reinforcement (As_{pair}) installed is greater than the area of reinforcement required (As_{need}), then the beam is able to withstand the forces acting due to dynamic loads (time history earthquakes) or combined loads so that the structural performance is quite good and safe.

Keywords: Structural Performance, Pier Structure, Coal Wharf, Earthquake Time History.

KATA PENGANTAR

Puji dan syukur kami panjatkan kepada ALLAH SWT, Tuhan semesta alam yang telah melimpahkan segenap rahmat, dan hidayah-Nya, sehingga penulis dapat menyelesaikan Penulisan Tugas Akhir ini tanpa suatu halangan apapun. Tak lupa pula penulis haturkan shalawat serta salam kepada junjungan kami Rasulullah Muhammad SAW. Semoga syafaatnya mengalir pada kita di hari akhir kelak.

Penulisan Tugas Akhir ini berjudul ” Kinerja Struktur Dermaga Batu Bara Terhadap Beban Gempa Riwayat Waktu Studi Kasus Proyek PLTU JAWA 9&10 Cilegon-Banten” ini disusun dan diajukan dalam rangka memenuhi syarat-syarat untuk mendapatkan gelar Sarjana Teknik Sipil pada program studi Teknik Sipil Universitas Mercu Buana, Jakarta. Dengan ini penulis menyadari bahwa laporan ini tidak akan akan selesai dengan baik tanpa adanya bantuan dari pihak-pihak terkait. Pada kesempatan ini saya sebagai penulis mengucapkan banyak terima kasih kepada:

- 1) Bapak Ir. Pariatmono Sukamto Msc, DIC, PhD. (Dosen pembimbing).
- 2) Manajemen proyek PT. Hutama Karya (Sumber data sekunder).
- 3) Proyek PLTU Jawa 9&10 (Staf Engineer dan Konstruksi)
- 4) Rekan sejawat (*Supporting system*).
- 5) Seluruh keluarga besar.

Dan semua pihak yang telah membantu dalam kegiatan penyusunan Penulisan Tugas Akhir ini maupun dalam proses penulisannya. Penulis menyadari Penulisan Tugas Akhir ini masih jauh dari kata sempurna. Oleh karena itu, kritik dan saran yang membangun akan penulis terima sebagai masukan dan perbaikan dalam laporan ini.

Aakhirul kalam, sekali lagi bahwa besar harapan penulis agar pembaca berkenan memberikan perhatiannya berupa kritik dan saran. Semoga Penulisan Tugas Akhir ini bisa memberikan manfaat bagi saya pribadi dan pihak-pihak lain.

Sekian dan Terima kasih.

Jakarta, Maret 2024

Joko Hermanto

DAFTAR ISI

HALAMAN PENGESAHAN.....	i
HALAMAN PERNYATAAN KARYA SENDIRI.....	ii
ABSTRAK.....	iii
ABSTRACT.....	iv
KATA PENGANTAR.....	v
DAFTAR ISI	vi
DAFTAR TABEL	xi
DAFTAR GAMBAR.....	xiv
I. BAB I PENDAHULUAN.....	I-1
1.1 Latar Belakang.....	I-1
1.2 Identifikasi Masalah.....	I-3
1.3 Rumusan Masalah.....	I-4
1.4 Tujuan	I-4
1.5 Manfaat	I-4
1.6 Batasan Masalah	I-5
1.7 Sistematika Penulisan	I-5
II. BAB II TINJAUAN PUSTAKA	II-1
2.1. Pengumpulan Data dan Dasar Teori	II-1
2.1.1. Pengumpulan Data.....	II-1
2.1.1.1. <i>Material Properties</i>	II-1
2.1.1.2. Studi Literatur	II-5
2.2. Dasar Teori	II-5
2.2.1. Umum	II-5
2.2.2. Penjelasan/Definisi	II-6
2.2.3. Tulangan pada Balok Persegi	II-23
2.2.3.1. Tulangan Lentur/Susut.....	II-23
2.2.3.2. Tulangan Geser	II-25
2.2.3.3. Faktor Reduksi (ϕ)	II-29
2.2.3.4. Faktor Modifikasi (λ)	II-30
2.2.4. Kapasitas Tahanan	II-30

2.2.5.	Selimut Beton	II-32
2.2.6.	<i>Braced Frame</i> dan <i>Moment Frame</i>	II-33
2.2.7.	DSTL dan DCON dalam SAP2000	II-34
2.2.8.	Sistem Rangka Pemikul Momen Khusus (SRPMK)	II-34
2.2.9.	Pemodelan Struktur.....	II-35
2.2.9.1.	<i>Assembled Joint Masses</i>	II-35
2.2.9.2.	<i>Body Constraint</i>	II-35
2.2.9.3.	<i>Multilinier Plastic Link</i>	II-36
2.2.9.4.	<i>Output Stations</i>	II-36
2.2.10.	Pemodelan Interaksi Tanah dan Struktur.....	II-38
2.2.10.1.	<i>Joint Spring</i>	II-38
2.2.10.2.	Spring Q-Z	II-39
2.2.10.3.	Spring T-Z.....	II-40
2.2.10.4.	Spring P-Y	II-43
2.2.10.5.	Daya Dukung Tanah	II-45
2.2.10.6.	Korelasi Sifat-Sifat Tanah	II-46
2.2.10.7.	Tekanan Tanah friksi	II-47
2.3.	Pembebaan Struktur	II-48
2.3.1.	Kombinasi Pembebaan	II-48
2.3.1.1.	Beban Mati (DL).....	II-49
2.3.1.2.	Beban Hidup (LL).....	II-49
2.3.1.3.	Tumpukan Beban Mati atau <i>Superimpose Dead Load</i> (SDL)	II-50
2.3.1.4.	Beban Gempa.....	II-50
2.3.2.	Respon Spektrum.....	II-50
2.3.3.	Kategori Desain Seismik (<i>Seismic Design Category</i>)	II-54
2.3.4.	Faktor Lateral.....	II-55
2.3.5.	Analisis Ragam (Periode Getar Alami Struktur)	II-56
2.3.6.	Kinerja Struktur	II-57
2.3.6.1.	Efek Seismik P-Delta	II-58
2.3.7.	Struktur Dermaga.....	II-58
2.3.8.	Dermaga Batu Bara.....	II-58
2.3.9.	Gempa Riwayat Waktu.....	II-59
2.3.9.1.	Gempa Bumi	II-59

2.3.9.2. Magnitudo.....	II-59
2.3.9.3. Percepatan Tanah Maksimum.....	II-59
2.3.9.4. Skala Mercalli / <i>Modified Mercalli Intensity (MMI)</i>	II-60
2.3.9.5. Riwayat Waktu	II-60
2.3.9.6. Analisis Riwayat Waktu	II-61
2.3.9.7. Gempa Padang - Indonesia Tahun 2009	II-61
2.3.9.8. Akselerogram.....	II-61
2.3.10. PLTU Jawa 9&10	II-62
2.4. Kerangka Berpikir.....	II-63
2.5. Penelitian Terdahulu	II-64
III. BAB III METODOLOGI PENELITIAN	III-1
3.1. Diagram Alur (<i>Flowchart</i>) Penyelesaian Tugas Akhir.....	III-1
3.2. Data-data Teknis	III-2
3.2.1. Dimensi dan Elemen Struktur.....	III-2
3.2.2. Spesifikasi Material	III-3
3.3. Analisis Kinerja Struktur	III-3
3.4. Lokasi Penelitian.....	III-4
IV. BAB IV ANALISIS DAN PEMBAHASAN.....	IV-1
4.1. Interaksi Tanah dan Struktur.....	IV-1
4.1.1. Spring Q-Z	IV-2
4.1.2. Spring T-Z.....	IV-5
4.1.3. Spring P-Y	IV-9
4.1.4. Pemodelan Interaksi Tanah.....	IV-12
4.1.5. Kombinasi Pembebanan	IV-15
4.1.5.1. Massa Seismik	IV-16
4.2. Analisis Data SAP2000	IV-17
4.2.1. Menetapkan Derajat Kebebasan (DOF).....	IV-17
4.2.2. Analisis Gaya Dalam Akibat Beban Statis	IV-18
4.2.3. <i>Run Analyze</i>	IV-18
4.2.4. Lendutan (<i>Displacement Joint</i>) Akibat Beban Statis.....	IV-19
4.2.5. <i>Output</i> Gaya Dalam Akibat Beban Statis	IV-21

4.2.6.	Data <i>Output</i> Gaya Dalam Akibat beban Statis	IV-22
4.2.6.1.	Gaya Dalam pada Tiang Pancang Tipe 1 (Dia. 1016mm).....	IV-23
4.2.6.2.	Gaya Dalam pada Tiang Pancang Tipe 2 (Dia. 914mm).....	IV-27
4.2.6.3.	Gaya Dalam pada Balok Crane (2,00m x 1,35m).....	IV-30
4.2.6.4.	Gaya Dalam pada Balok Memanjang (1,00m x 1,35m)	IV-34
4.2.6.5.	Gaya Dalam pada Balok Melintang (0,90m x 1,35m)	IV-37
4.2.7.	Reaksi Tumpuan (<i>Joint Reaction</i>) Akibat beban Statis	IV-42
4.2.8.	Berat Total Konstruksi Dermaga/Berat bangunan	IV-43
4.3.	Analisis Ragam Struktur.....	IV-44
4.3.1.	Periode Getar Alami pada Struktur.....	IV-45
4.3.2.	Pengaruh Ragam Waktu terhadap Lendutan dan Gaya Dalam.....	IV-52
4.4.	Analisis Gempa Riwayat Waktu (Gempa Padang).....	IV-52
4.4.1.	Percepatan Tanah Maksimum (PGA) Gempa Padang Tahun 2009	IV-52
4.4.2.	Faktor Reduksi Gempa	IV-54
4.4.3.	<i>Input</i> Beban Gempa Riwayat Waktu (<i>Time History</i>).....	IV-54
4.4.4.	<i>Run Analyze</i> Gempa Riwayat Waktu.....	IV-56
4.5.	Deformasi Struktur Dermaga Akibat Beban Dinamis (Riwayat Waktu) ..	IV-57
4.6.	Lendutan Akibat Beban Dinamis (Riwayat Waktu)	IV-58
4.6.1.	Lendutan Akibat Beban Dinamis pada Titik Pengamatan	IV-58
4.6.2.	Perpindahan/Lendutan Maksimum Akibat Beban Dinamis	IV-61
4.7.	Gaya Dalam Akibat Beban Dinamis (Riwayat Waktu)	IV-63
4.7.1.	Gaya Dalam Pengamatan Akibat Beban Dinamis	IV-63
4.7.1.1.	Gaya Dalam maksimum pada Tiang Pancang Tipe 1 & 2.....	IV-63
4.7.1.2.	Gaya Dalam maksimum pada Balok Melintang (0,90m x 1,35m)	IV-69
4.7.2.	Reaksi Tumpuan (<i>Joint Reaction</i>) Akibat Beban Dinamis.....	IV-72
4.8.	Nilai Tegangan Normal/Aksial dan Geser Hasil Analisis SAP2000.....	IV-74
4.8.1.	Tegangan pada Pipa Pancang <i>Frame</i> 684.....	IV-74
4.8.1.1.	Tegangan Normal/Aksial Pipa Pancang	IV-74
4.8.1.2.	Tegangan Geser Pipa Pancang.....	IV-75
4.8.2.	Tegangan pada Balok Beton Bertulang <i>Frame</i> 447.....	IV-78
4.8.2.1.	Tegangan Momen pada Balok Beton Bertulang.....	IV-78
4.8.2.2.	Tegangan Geser pada Balok Beton Bertulang.....	IV-79

4.8.3. Kapasitas Tiang Pancang <i>Frame</i> 684 Akibat Beban Dinamis.....	IV-82
4.8.4. Tulangan Lentur dan Geser Akibat Beban Dinamis (Balok Beton)	IV-84
4.8.4.1. Tulangan Lentur/Longitudinal Pada Balok <i>Frame</i> 447	IV-86
4.8.4.2. Tulangan Geser Pada Balok <i>Frame</i> 447	IV-88
4.8.5. Perhitungan Manual Tulangan Lentur dan Geser pada Balok Beton	IV-93
4.8.5.1. Tulangan Lentur dan Geser pada Tumpuan Balok	IV-93
4.8.5.2. Tulangan Lentur dan Geser pada Lapangan Balok.....	IV-97
4.8.6. Perbandingan Tulangan Hasil Analisis SAP2000 dan Perhitungan Manual	
	IV-102
V. BAB V KESIMPULAN DAN SARAN.....	V-1
5.1. Kesimpulan	V-1
5.2. Saran	V-2
DAFTAR PUSTAKA.....	Pustaka-1
LAMPIRAN	Lampiran-1
Gambar Struktur Dermaga Batu Bara PLTU Jawa 9&10.....	Lampiran-2
Data Akselerogram Gempa Padang Tahun 2009.....	Lampiran-3
Data Bor Log Jetty PLTU Jawa 9&10.....	Lampiran-4
Kriteria Desain Jetty PLTU Jawa 9&10	Lampiran-5
Modeling Struktur Dermaga dengan SAP2000 v20	Lampiran-6

DAFTAR TABEL

Tabel 2. 1 Material Properties Dermaga PLTU JAWA 9&10	II-1
Tabel 2. 2 Data Tanah N-SPT Lokasi Dermaga PLTU Jawa 9&10	II-2
Tabel 2. 3 Data percepatan tanah maksimum (PGA) gempa Padang – 2009 (t) = 1 milidetik sampai dengan (t) = 190 milidetik.....	II-4
Tabel 2. 4 Data percepatan tanah maksimum (PGA) gempa Padang – 2009 (t) = 10155 milidetik sampai dengan (t) = 10240 milidetik.....	II-5
Tabel 2. 5 Batas lendutan maksimum pada Baja	II-6
Tabel 2. 6 Batas lendutan izin maksimum pada Beton	II-7
Tabel 2. 7 Selimut beton minimum.....	II-33
Tabel 2. 8 Nilai Kurva T-Z	II-42
Tabel 2. 9 Parameter Desain Tanah (Cohesionless)	II-46
Tabel 2. 10 Kombinasi Beban Tidak Terfaktor	II-48
Tabel 2. 11 <i>Minimum Uniform Disributed Live Loads</i>	II-49
Tabel 2. 12 Klasifikasi Situs	II-51
Tabel 2. 13 Faktor amplifikasi (FPGA)	II-53
Tabel 2. 14 Faktor keutamaan gempa	II-53
Tabel 2. 15 Faktor R, Cd, dan Ω_0 sistem pemikul gaya seismik.....	II-53
Tabel 2. 16 Kategori resiko bangunan gedung dan nongedung	II-54
Tabel 2. 17 Kategori desain seismik berdasarkan parameter respons percepatan pada periode pendek.....	II-54
Tabel 2. 18 Kategori desain seismik berdasarkan parameter respons percepatan pada periode 1 detik	II-55
Tabel 2. 19 Koefisien untuk batas atas pada periode yang dihitung.....	II-56
Tabel 2. 20 Nilai parameter periode pendekatan Ct dan x	II-56
Tabel 2. 21 Skala Intensitas Mercalli terhadap Peak Ground Acceleration (PGA) ...	II-60
Tabel 2. 22 Penelitian terdahulu.....	II-64
Tabel 3. 1 Tabel dimensi dan elevasi struktur dermaga.....	III-2
Tabel 4. 1 Nilai Sudut Geser dan Berat Jenis Tanah.....	IV-1

Tabel 4. 2 Daya Dukung tanah ujung (Pipa dia. 1016 mm).....	IV-3
Tabel 4. 3 Daya Dukung tanah ujung Pipa dia. 914 mm	IV-3
Tabel 4. 4 Hubungan Gaya dan Deformasi Q-Z Tiang Dia.1016mm	IV-4
Tabel 4. 5 Hubungan Gaya dan Deformasi Q-Z Tiang Dia.914mm	IV-4
Tabel 4. 6 Daya Dukung tanah friksi Pipa Pancang dia. 1016 mm	IV-6
Tabel 4. 7 Daya Dukung tanah friksi Pipa Pancang dia. 914 mm	IV-7
Tabel 4. 8 Daya Dukung Tanah Ujung maksimum Pancang dia. 1016mm & 914mm	IV-8
Tabel 4. 9 Hubungan Gaya dan Deformasi T-Z Tiang Dia.1016mm	IV-8
Tabel 4. 10 Hubungan Gaya dan Deformasi T-Z Tiang Dia.914mm	IV-9
Tabel 4. 11 Nilai Koefisien dalam perhitungan Spring P-Y	IV-10
Tabel 4. 12 Nilai Daya Dukung Lateral Ultimate	IV-11
Tabel 4. 13 Nilai Tahanan Tanah Lateral P-Y	IV-12
Tabel 4. 14 <i>Output</i> nilai Lendutan (<i>Displacement Joint</i>) Struktur Dermaga	IV-19
Tabel 4. 15 Nilai lendutan maksimum akibat beban statis.....	IV-20
Tabel 4. 16 <i>Output</i> Nilai Gaya Dalam (<i>Default Data</i>)	IV-23
Tabel 4. 17 Nilai Maks. Gaya Aksial dan Momen pada Tiang Pancang Tipe 1	IV-26
Tabel 4. 18 Nilai Maks. Gaya Aksial dan Momen pada Tiang Pancang Tipe 2	IV-30
Tabel 4. 19 Nilai maks. gaya geser, momen dan torsi (balok <i>crane</i>).....	IV-34
Tabel 4. 20 Nilai maks. gaya geser, momen dan torsi (balok <i>long</i>).....	IV-37
Tabel 4. 21 Gaya Dalam Maksimum pada Balok Melintang.....	IV-41
Tabel 4. 22 Gaya dalam maksimum struktur dermaga akibat beban statis	IV-41
Tabel 4. 23 <i>Output</i> data Reaksi Tumpuan pada Struktur Dermaga	IV-42
Tabel 4. 24 Reaksi Tumpuan Maksimum Beban Statis	IV-43
Tabel 4. 25 <i>Base Reaction</i> Dermaga PLTU Jawa 9&10	IV-43
Tabel 4. 26 Berat Struktur Dermaga PLTU Jawa 9&10	IV-44
Tabel 4. 27 Periode Getar Alami Struktur Dermaga PLTU Jawa 9&10	IV-50
Tabel 4. 28 Pengelompokan Getar Alami Struktur Dermaga PLTU Jawa 9&10	IV-51
Tabel 4. 29 Nilai lendutan pada <i>joint</i> pengamatan akibat beban dinamis.....	IV-62
Tabel 4. 30 Nilai perpindahan/lendutan akibat beban statis dan dinamis	IV-63
Tabel 4. 31 Model <i>Output</i> gaya dalam pada tiang pancang tipe 1 dan 2	IV-64
Tabel 4. 32 Nilai gaya dalam beban dinamis dan statis Pancang tipe 1 dan 2	IV-68
Tabel 4. 33 Nilai gaya dalam beban dinamis dan statis balok melintang (<i>cross</i>)	IV-71
Tabel 4. 34 Perbandingan nilai reaksi tumpuan beban statis dan dinamis	IV-73

Tabel 4. 35 Nilai tegangan akibat beban dinamis dan kombinasi <i>frame</i> 684	IV-77
Tabel 4. 36 Nilai tegangan akibat beban dinamis dan kombinasi <i>frame</i> 447	IV-81
Tabel 4. 37 Kebutuhan tulangan hasil analisis SAP2000 dan perhitungan manual pada balok <i>frame</i> 447	IV-103



DAFTAR GAMBAR

Gambar 1. 1	Peta Propinsi Banten	I-2
Gambar 1. 2	Lokasi PLTU JAWA 9&10 di Cilegon – Banten.....	I-2
Gambar 2. 1	Denah Struktur Dermaga PLTU JAWA 9&10.....	II-2
Gambar 2. 2	Potongan melintang truktur Dermaga PLTU JAWA 9&10	II-3
Gambar 2. 3	Potongan memanjang struktur Dermaga PLTU JAWA 9&10	II-3
Gambar 2. 4	Gaya tarik pada batang	II-9
Gambar 2. 5	Gaya tekan pada batang.....	II-9
Gambar 2. 6	Momen lentur pada pipa.....	II-10
Gambar 2. 7	Gaya geser pada bidang silinder.....	II-11
Gambar 2. 8	Penampang balok	II-13
Gambar 2. 9	Tegangan pada arah sumbu lokal balok dan Tiang pancang.....	II-14
Gambar 2. 10	Gaya Aksial dan Torsi Positif	II-16
Gambar 2. 11	Gaya Momen dan Geser Positif pada Bidang 1-2	II-16
Gambar 2. 12	Gaya Momen dan Geser Positif pada Bidang 1-3	II-17
Gambar 2. 13	Enam derajat kebebasan joint pada sistem koordinat lokal.....	II-17
Gambar 2. 14	Konvensi tanda default untuk elemen horisontal	II-18
Gambar 2. 15	Konvensi tanda default untuk elemen vertikal	II-18
Gambar 2. 16	Regangan pada Penampang balok beton bertulang	II-24
Gambar 2. 17	Lokasi geser maksimum pada perencanaan balok	II-26
Gambar 2. 18	Gambar rumus persamaan kapasitas silinder	II-31
Gambar 2. 19	Gambar rumus persamaan kapasitas silinder	II-32
Gambar 2. 20	Arah gerakan 6 DOF	II-36
Gambar 2. 21	Output Stations pada Balok dan Kolum	II-38
Gambar 2. 22	Kurva Q-Z perpindahan beban pada Ujung Tiang	II-40
Gambar 2. 23	Kurva T-Z Perpindahan Beban Aksial pada Tiang	II-41
Gambar 2. 24	Kurva T-Z perpindahan beban Aksial pada Tiang	II-42
Gambar 2. 25	Kurva ploting T-Z & Q-Z perpindahan beban pada Ujung Tiang ...	II-42
Gambar 2. 26	Koefisien Fungsi Geser ϕ'	II-43
Gambar 2. 27	Initial Modulus dari Reaksi Tanah	II-44

Gambar 2. 28 Respon Tanah dan Tiang terhadap Kurva P-Y	II-45
Gambar 2. 29 Kurva Hubungan N-SPT dan Sudut Geser Tanah.....	II-47
Gambar 2. 30 Kurva Hubungan N-SPT dan Berat Jenis Tanah.....	II-47
Gambar 2. 31 Data Respon Spektra dermaga PLTU Jawa 9&10	II-51
Gambar 2. 32 Respon Spektra Tanah batuan dermaga PLTU Jawa 9&10	II-52
Gambar 2. 33 Akselerogram gempa yang terekam hasil simulasi (modifikasi)	II-62
Gambar 2. 34 Pembangunan PLTU Jawa 9&10 (2 x 1000 MW)	II-63
Gambar 2. 35 Kerangka Berpikir Tugas Akhir	II-63
Gambar 3. 1 Diagram Alir Pelaksanaan Tugas Akhir.....	III-1
Gambar 3. 2 Tampak Atas Dermaga PLTU JAWA 9&10.....	III-4
Gambar 3. 3 Tampak Darat Dermaga PLTU JAWA 9&10	III-4
Gambar 4. 1 Kurva Q-Z	IV-5
Gambar 4. 2 Kurva T-Z.....	IV-9
Gambar 4. 3 Joint Springs dia. 914mm kedalaman 2m dan 30m.....	IV-13
Gambar 4. 4 Joint Springs dia. 1016mm kedalaman 2m dan 30m.....	IV-14
Gambar 4. 5 Pemodelan Interaksi Tanah (Springs) terhadap Tiang Pancang.....	IV-15
Gambar 4. 6 Kombinasi Pembebanan ASCE 61-14	IV-16
Gambar 4. 7 Massa Seismik (Mass Source).....	IV-17
Gambar 4. 8 Tampilan Available DOFs jenis derajat kebebasan	IV-17
Gambar 4. 9 Penetapan Beban untuk Analisis Gaya Dalam	IV-18
Gambar 4. 10 Proses Analisis Running Complete	IV-18
Gambar 4. 11 Tampilan Deformasi Struktur dan Lendutan akibat Beban Statis....	IV-19
Gambar 4. 12 Lokasi Lendutan Maksimum akibat beban statis	IV-20
Gambar 4. 13 Nilai Lendutan Maksimum pada lokasi <i>Joint</i> 11 dan 66	IV-20
Gambar 4. 14 Model Lendutan Maksimum akibat beban statis.....	IV-20
Gambar 4. 15 Lokasi Gaya Aksial Maksimum Pada Tiang Pancang Tipe 1	IV-23
Gambar 4. 16 Diagram Frame 2061 gaya aksial maks. (pancang tipe 1)	IV-24
Gambar 4. 17 Diagram Frame 2061 gaya momen (pancang tipe 1)	IV-24
Gambar 4. 18 Lokasi Momen maksimum pada Tiang Pancang Tipe 1	IV-25
Gambar 4. 19 Diagram Frame 1132 gaya momen maks. (pancang tipe 1).....	IV-25
Gambar 4. 20 Diagram Frame 1132 gaya aksial (pancang tipe 1).....	IV-26

Gambar 4. 21 Lokasi Gaya Aksial maks. pada Tiang Pancang Tipe 2	IV-27
Gambar 4. 22 Diagram Frame 684 gaya aksial maks. (pancang tipe 2)	IV-27
Gambar 4. 23 Diagram Frame 684 gaya momen (pancang tipe 2)	IV-28
Gambar 4. 24 Lokasi Momen maks. pada Tiang Pancang Tipe 2	IV-28
Gambar 4. 25 Diagram Frame 672 Momen Maks. (Pancang Tipe 2).....	IV-29
Gambar 4. 26 Diagram Frame 672 gaya aksial (Pancang Tipe 2)	IV-29
Gambar 4. 27 Lokasi gaya dalam maks. pada Balok Crane.....	IV-30
Gambar 4. 28 Diagram Frame 98 gaya torsi maks. (balok crane)	IV-31
Gambar 4. 29 Diagram Frame 98 gaya geser dan momen (balok crane).....	IV-31
Gambar 4. 30 Diagram Frame 68 gaya torsi (balok crane).....	IV-32
Gambar 4. 31 Diagram Frame 68 gaya geser maks. dan momen (balok crane)	IV-32
Gambar 4. 32 Diagram Frame 60 gaya momen maks. dan geser (balok crane)	IV-33
Gambar 4. 33 Diagram Frame 60 gaya torsi (balok crane).....	IV-33
Gambar 4. 34 Lokasi gaya dalam maks. pada Balok Memanjang	IV-34
Gambar 4. 35 Diagram Frame 84 gaya torsi maks. (balok long)	IV-35
Gambar 4. 36 Diagram Frame 84 gaya momen maks. dan geser (balok long).....	IV-35
Gambar 4. 37 Diagram Frame 419 gaya momen dan geser maks. (balok long).....	IV-36
Gambar 4. 38 Diagram Frame 419 gaya torsi maks. (balok long)	IV-36
Gambar 4. 39 Lokasi gaya dalam maks. pada Balok Melintang.....	IV-37
Gambar 4. 40 Diagram Frame 28 gaya torsi maks. (balok cross)	IV-38
Gambar 4. 41 Diagram Frame 28 gaya momen dan geser (balok cross)	IV-38
Gambar 4. 42 Diagram Frame 447 gaya torsi (balok cross)	IV-39
Gambar 4. 43 Diagram Frame 447 gaya geser maks. dan momen (balok cross)....	IV-39
Gambar 4. 44 Diagram Frame 445 gaya torsi (balok cross)	IV-40
Gambar 4. 45 Diagram Frame 445 gaya momen maks. dan geser (balok cross)....	IV-40
Gambar 4. 46 Lokasi reaksi tumpuan maks. beban statis	IV-42
Gambar 4. 47 Set Load Case pada Analisis Ragam Struktur.....	IV-45
Gambar 4. 48 Bentuk deformasi struktur PLTU Jawa 9&10 pada Getar Alami	IV-45
Gambar 4. 49 Deformasi Struktur pada <i>Getar Alami</i> ragam 1 (Translasi arah Y) ..	IV-46
Gambar 4. 50 Deformasi Struktur pada Getar Alami ragam 2 (Translasi arah X) ..	IV-46
Gambar 4. 51 Deformasi Struktur pada Getar Alami ragam 3 (Trans. Arah X,Y/Puntir)	

	IV-46
Gambar 4. 52 Deformasi Struktur pada Getar Alami ragam 4 (Translasi arah Z)...	IV-47
Gambar 4. 53 Deformasi Struktur pada Getar Alami ragam 5 (Translasi arah Z)...	IV-47

Gambar 4. 54 Deformasi Struktur pada Getar Alami ragam 6 (Translasi arah Z) ...IV-47
Gambar 4. 55 Deformasi Struktur pada Getar Alami ragam 7 (Translasi arah Z) ...IV-48
Gambar 4. 56 Deformasi Struktur pada Getar Alami ragam 8 (Translasi arah Z) ...IV-48
Gambar 4. 57 Deformasi Struktur pada Getar Alami ragam 9 (Translasi arah Z) ...IV-48
Gambar 4. 58 Deformasi Struktur pada <i>Getar</i> Alami ragam 10 (Translasi arah Z) IV-49
Gambar 4. 59 Deformasi Struktur pada <i>Getar</i> Alami ragam 11 (Translasi arah Z) IV-49
Gambar 4. 60 Deformasi Struktur pada <i>Getar</i> Alami ragam 12 (Translasi arah Z) IV-49
Gambar 4. 61 Periode Alami terhadap Batas IzinIV-51
Gambar 4. 62 Grafik PGA arah X Gempa Padang, Tahun 2009IV-53
Gambar 4. 63 Grafik PGA arah Y Gempa Padang, Tahun 2009IV-53
Gambar 4. 64 Grafik PGA arah Z Gempa Padang, Tahun 2009IV-53
Gambar 4. 65 Akselerogram Gempa Padang arah X dan Y pada SAP2000IV-55
Gambar 4. 66 Akselerogram Gempa Padang arah Z pada SAP2000IV-55
Gambar 4. 67 Penetapan Gaya Gempa PadangIV-56
Gambar 4. 68 Penetapan <i>Load Case to Run Analyze</i> Gempa Riwayat Waktu.....IV-56
Gambar 4. 69 Pengaturan tampilan bentuk deformasi berdasarkan fungsi waktu (t) ..IV-57
Gambar 4. 70 Deformasi lateral Y struktur dermaga (PGA maks. arah Z)IV-57
Gambar 4. 71 Kurva <i>Displ.</i> & <i>Accel.</i> beban dinamis <i>Joint</i> 11IV-58
Gambar 4. 72 Lokasi lendutan akibat beban dinamis <i>Joint</i> 11IV-59
Gambar 4. 73 Kurva nilai perpindahan beban dinamis pada <i>Joint</i> 11IV-59
Gambar 4. 74 Kurva nilai percepatan beban dinamis pada <i>Joint</i> 11IV-59
Gambar 4. 75 Kurva <i>Displ.</i> & <i>Accel.</i> beban dinamis <i>Joint</i> 66IV-60
Gambar 4. 76 Lokasi lendutan akibat beban dinamis <i>Joint</i> 66IV-60
Gambar 4. 77 Kurva nilai perpindahan beban dinamis pada <i>Joint</i> 66IV-60
Gambar 4. 78 Kurva nilai percepatan beban dinamis pada <i>Joint</i> 66IV-61
Gambar 4. 79 Kurva <i>Displ & Accel.</i> beban dinamis <i>Joint</i> 212IV-61
Gambar 4. 80 Lokasi lendutan maksimum akibat beban dinamis <i>Joint</i> 212IV-61
Gambar 4. 81 Kurva nilai perpindahan maks. beban dinamis pada <i>Joint</i> 212IV-62
Gambar 4. 82 Kurva nilai percepatan beban dinamis pada <i>Joint</i> 212IV-62
Gambar 4. 83 Lokasi pengamatan pada tiang pancang akibat beban dinamisIV-64
Gambar 4. 84 Kurva gaya momen maksimum beban dinamis <i>frame</i> 1132IV-64
Gambar 4. 85 Kurva nilai momen maks. beban dinamis <i>Frame</i> 1132IV-65
Gambar 4. 86 Diagram gaya momen maks. beban dinamis Frame 1132IV-65

- Gambar 4. 87** Diagram gaya aksial dan torsi beban dinamis Frame 1132.....IV-65
Gambar 4. 88 Kurva gaya normal/aksial maks. beban dinamis *frame 684*.....IV-66
Gambar 4. 89 Kurva nilai aksial maks. beban dinamis *frame 684*.....IV-66
Gambar 4. 90 Diagram aksial maks. beban dinamis frame 684.....IV-67
Gambar 4. 91 Diagram aksial maks. beban dinamis frame 684.....IV-67
Gambar 4. 92 Diagram defleksi tiang pancang akibat beban statis dan dinamisIV-68
Gambar 4. 93 Lokasi pengamatan pada balok melintang akibat beban dinamisIV-69
Gambar 4. 94 Kurva gaya geser maksimum beban dinamis *frame 447*.....IV-69
Gambar 4. 95 Kurva nilai gaya geser maks. beban dinamis *frame 447*.....IV-69
Gambar 4. 96 Diagram gaya geser dan momen maks. beban dinamis Frame 447 ..IV-70
Gambar 4. 97 Diagram gaya aksial dan torsi beban dinamis Frame 447.....IV-71
Gambar 4. 98 Grafik defleksi balok akibat beban statis dan dinamisIV-71
Gambar 4. 99 Kurva reaksi tumpuan maks. beban dinamis *joint 849* dan *joint 897*IV-72
Gambar 4. 100 Lokasi reaksi tumpuan maks. beban dinamis *joint 849* dan *joint 897* IV-72
Gambar 4. 101 Kurva nilai reaksi tumpuan maks. beban dinamis *joint 849*IV-73
Gambar 4. 102 Kurva nilai reaksi tumpuan maks. beban dinamis *joint 897*IV-73
Gambar 4. 103 Grafik Joint Reactions akibat beban statis dan dinamisIV-74
Gambar 4. 104 Diagram tegangan aksial akibat beban dinamis frame 684.....IV-75
Gambar 4. 105 Diagram tegangan aksial akibat beban kombinasi frame 684.....IV-75
Gambar 4. 106 Penampang pipa pancang baja frame 684IV-75
Gambar 4. 107 Diagram tegangan arah sumbu 2 akibat beban dinamis frame 684.IV-76
Gambar 4. 108 Diagram tegangan arah sumbu 2 akibat beban kombinasi frame 684.IV-76
Gambar 4. 109 Diagram tegangan arah sumbu 3 akibat beban dinamis frame 684.IV-77
Gambar 4. 110 Diagram tegangan arah sumbu 3 akibat beban kombinasi frame 684.IV-77
Gambar 4. 111 Grafik Tegangan aksial beban dinamis dan kombinasi frame 684 .IV-77
Gambar 4. 112 Grafik Tegangan geser beban dinamis dan kombinasi frame 684 ..IV-78
Gambar 4. 113 Diagram tegangan momen akibat beban dinamis frame 447IV-78
Gambar 4. 114 Diagram tegangan momen akibat beban kombinasi frame 447IV-78
Gambar 4. 115 Penampang balok beton bertulang frame 447IV-79
Gambar 4. 116 Diagram tegangan arah sumbu 2 akibat beban dinamis frame 447.IV-80

Gambar 4. 117 Diagram tegangan arah sumbu 2 akibat beban kombinasi frame 447.IV-80	
Gambar 4. 118 Diagram tegangan arah sumbu 3 akibat beban dinamis frame 447.IV-80	
Gambar 4. 119 Diagram tegangan arah sumbu 3 akibat beban kombinasi frame 447.IV-81	
Gambar 4. 120 Grafik tegangan momen beban dinamis dan kombinasi frame 447 IV-81	
Gambar 4. 121 Grafik tegangan geser beban dinamis dan kombinasi frame 447....IV-81	
Gambar 4. 122 Parameter desain kapasitas tiang pancang pipa baja	IV-82
Gambar 4. 123 Properties analisis beban dinamis pancang baja frame 684	IV-83
Gambar 4. 124 Analisis rasio kapasitas akibat beban dinamis frame 684	IV-83
Gambar 4. 125 Rasio kapasitas tiang pancang akibat beban dinamis frame 684.....	IV-83
Gambar 4. 126 Grafik rasio kapasitas tiang pancang akibat beban dinamis frame 684	IV-84
Gambar 4. 127 Parameter desain beton bertulang.....	IV-85
Gambar 4. 128 Concrete Frame Design pemikul momen khusus (SRPMK).....	IV-85
Gambar 4. 129 Properties analisis beban dinamis balok frame 447	IV-86
Gambar 4. 130 Analisis tulangan lentur akibat beban dinamis frame 447	IV-86
Gambar 4. 131 Analisis tulangan lentur akibat beban dinamis frame 447	IV-87
Gambar 4. 132 Section tulangan lentur pada balok tumpuan dan lapangan frame 447	IV-88
Gambar 4. 133 Analisis tulangan geser akibat beban dinamis frame 447	IV-89
Gambar 4. 134 Analisis tulangan geser tumpuan akibat beban dinamis frame 447IV-89	
Gambar 4. 135 Analisis tulangan geser lapangan akibat beban dinamis frame 447...IV-90	
Gambar 4. 136 Potongan melintang tulangan lentur dan geser balok frame 447 analisis SAP2000	IV-92
Gambar 4. 137 Potongan memanjang tulangan lentur dan geser balok frame 447 analisis SAP2000	IV-92
Gambar 4. 138 Gaya momen dan geser balok tumpuan frame 447	IV-93
Gambar 4. 139 Gaya momen dan geser balok lapangan frame 447	IV-97
Gambar 4. 140 Potongan melintang tulangan lentur dan geser balok frame 447 perhitungan manual.....	IV-102
Gambar 4. 141 Potongan memanjang tulangan lentur dan geser balok frame 447 perhitungan manual.....	IV-102